

## 프라즈마에 비스듬히 入射된 電磁波의 運動理論

C. T. Swift and F. Crownfield, IEEE Trans. Antennas and Prop. vol. AP-19, pp 81-90, 1971.

### 1. 序 論

프라즈마와 電磁波의 相互作用은 電離層의 研究, 氣象觀測에 關聯된 레이더의 研究, 프라즈마 스위치의 透過에 對한 研究, 또한 實驗室에서의 診斷 等의 研究에서 큰 關心을 끌고 있다.

이 問題를 다루는데 있어서 가장 많이 쓰이는 모델은 中性狀態에 있는 固定面內의 冷電子로 構成되어 있는 프라즈마이다. 中性狀態의 固定面內에서 ion 運動은 無視할 수 있고 이는 實際의 경우와 큰 차이가 없으나 冷電子라는 假定은 困難한 경우가 많다.

例로서 Tonkc [1], Rommel [2], Dattner [3]의 實驗結果와 meter trail로 부터의 레이더 散亂의 測定結果(그림 1)는 이 假定이 잘 맞지 않음을 보여 주고 있다. 프라즈마 모델로는 그림 1의 最右端의 共振만 說明할 수 있다. 이 共振들은 電子溫度와 非均一 프라즈마 密度에 依한 結果 [4][5]를 보여 주고 있으며 普通 Tonkc-Dattner 共振이라 한다. Parker 등이 使用한 流體 모델[4]은 信號周波數  $\omega$ 가 프라즈마 周波數  $\omega_p$  近處에서만 解析이 可能하다. 非均一 프라즈마에 對한 解析으로서의 相異한 프라즈마部分에 對해서 相異한 프라즈마 모델을 利用한 Baldwin [6]과 Ignat[7]의 方法이 있다. 여기서는 프라즈마 모델로서 Maxwell 方程式과 Vlasov 方程式만을 利用해서 問題를 다루고자 한다. Vlasov 方程式은 流體方程式 보다 더욱 記述의이며  $\omega$ 와  $\omega_p$ 의 差가 클때 더욱 正確할 뿐 아니라 流體方程式으로는 說明할 수 없는 Landau damping 現象[8]을 說明할 수 있다. 여기서 究明하고자 하는 것은 프라즈마 슬랩

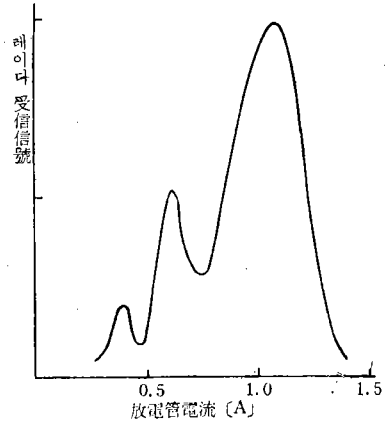


그림 1.

에 入射된 平行分極電磁波의 反射와 透過에 關한 것이다. 프라즈마는 均一한 것으로 가정한다.

### 2. Vlasov-Maxwell 方程式을 利用한 平面波와 均一한 프라즈마 슬랩과의 相互作用에 對한 解析

그림 2는 問題의 幾何學的關係를 表示하고 있다. 平面波가 入射平面에서 分極된 電氣벡터로서 프라즈마 슬랩에 入射될때; 電磁波는

$$E = E_0 \exp i(k_x x \cos \theta + k_z z \sin \theta - \omega t)$$

로 表示한다. 프라즈마 슬랩의 面은  $x=0$ ,  $x=L$ 에 入射平面은  $x-z$  平面으로, 入射角은  $\theta$ 로 한다.  $k_0 = \omega/c$ 는 自由空間의 傳播定數를 表示하고  $\omega$ 는 入射波의 角速度를 表示한다.

運動效果는 프라즈마波의 位相速度와 熱速度의 比에 따르게 되는데 이 比는 프라즈마波에만 適用할 수 있다. 이 波는 入射平面에 垂直으로 分

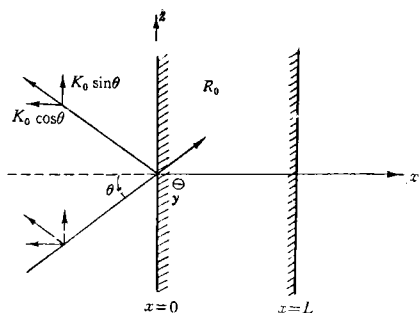


그림 2.

極된 入射波와는 無關하므로 平行分極波만 생각하면 된다.

$x > 0$ 에서 電磁波의 接線方向成分은

$$Hy = H_0 [\exp(ik_0 x \cos \theta) + R \exp(-ik_0 x \cos \theta)] \cdot \exp[i(k_0 z \sin \theta - \omega t)] \dots\dots\dots(1)$$

$$Ez = -H_0 [\exp(ik_0 x \cos \theta) - R \exp(-ik_0 x \cos \theta)] \cdot \left(\frac{\mu_0}{\epsilon_0}\right)^{\frac{1}{2}} \cos \theta \exp[i(k_0 z \sin \theta - \omega t)] \quad (2)$$

로 된다. R은 磁界에 對한 反射係數,  $H_0$ 는 入射波의 磁界의 크기이다.

$x > L$ 에 對해서는

$$Hy = H_0 T \exp(ik_0 x \cos \theta) \exp[i(k_0 z \sin \theta - \omega t)] \dots\dots\dots(3)$$

$$Ez = -H_0 T \left(\frac{\mu_0}{\epsilon_0}\right)^{\frac{1}{2}} \exp(ik_0 x \cos \theta) \exp[i(k_0 z \sin \theta - \omega t)] \cos \theta \dots\dots\dots(4)$$

로 된다. T는 磁界에 對한 透過係數이다.  $x=0, x=L$ 에서의 境界條件에 依해서 스텝內외의 Z方向의 變化는 같게 되므로 스텝內에서의 電磁場은

$[E, H] = [E_{(x)}, H_{(x)}] \exp[i(k_0 z \sin \theta - \omega t)]$ 의 形으로 된다. 따라서  $\exp[i(k_0 z \sin \theta - \omega t)]$ 는 數式에서 便宜上 省略한다.

$(f - f_0)$ 를  $f_1$ 으로,  $\frac{\partial}{\partial t}$ 를  $i\omega$ 로 表示하면 Vlasov 方程式은

$$-i\omega f_1 + \vec{V} \cdot \frac{\partial f_1}{\partial \vec{x}} - \frac{e\vec{E}}{m} \cdot \frac{\partial f_0}{\partial \vec{V}} = -\nu f_1 \dots\dots(5)$$

$$F_1^- = \frac{2ie\omega v_x F_0 [(\mu_0/\epsilon_0)^{\frac{1}{2}}(v_x/c)H_{1y} - (1+i(\nu/\omega))E_{1x}]}{mV_T^2[(\omega - k_0 V_z \sin \theta + i\nu)^2 - (l\pi V_x/L)^2]} \dots\dots\dots(13)$$

여기서  $f_0$ 는 Maxwell 平衡分布函數이다.

$$f_0 = n_0 F_0 = \frac{n_0 \exp(-v^2/2V_T^2)}{(2\pi V_T^2)^{\frac{3}{2}}}$$

으로 된다. 여기서  $f_0$ 는 非攝動分布函數,  $\vec{V}$ 는 粒子의 速度,  $\vec{x}$ 는 粒子의 位置이다. (5)式은 Maxwell 方程式에 依해서 풀수 있다.

$$\nabla \times \vec{H} = -i\omega \epsilon_0 \vec{E} - e \int f_1 \vec{v} d\vec{v} \dots\dots\dots(6)$$

$$\nabla \times \vec{E} = i\omega \mu_0 \vec{H} \dots\dots\dots(7)$$

(6)式에서  $(-e \int f_1 v dv)$ 는 對流電流密度이고,  $V_x > 0$ 에 對한 分布函數를  $f_1^+(\dots V_x \dots)$ 라 하고  $v_x < 0$ 에 對한 것을  $f_1^-(\dots -v_x \dots)$ 라 하면  $f_1^+, f_1^-$ 는 다음式을 滿足한다.

$$(-i\omega + \nu)f_1^+ + \nu_x \frac{\partial f_1^+}{\partial x} + ik_0 z_x \sin \theta f_1^+ - \frac{e}{m} \left( Ez \frac{\partial f_0}{\partial z_x} + Ez \frac{\partial f_0}{\partial V_x} \right) = 0 \dots\dots\dots(8)$$

$$(-i\omega + \nu)f_1^- - V_x \frac{\partial f_1^-}{\partial x} + ik_0 v_x \sin \theta f_1^- - \frac{e}{m} \left( Ez \frac{\partial f_0}{\partial V_x} - Ex \frac{\partial f_0}{\partial V_x} \right) = 0 \dots\dots\dots(9)$$

$F^+ = f_1^+ + f_1^-$ ,  $F^- = f_1^+ - f_1^-$ 로 하면 다음式을 얻는다.

$$\frac{\partial^2 F^-}{\partial x^2} + \frac{(\omega + i\nu - k_0 V_z \sin \theta)^2 F^-}{v_x^2} - 2ie \frac{(\omega + i\nu - k_0 V_z \sin \theta)}{mv_{z2}} \frac{\partial f_0}{\partial v_x} E_x - \frac{2e}{mv_x} \frac{\partial f_0}{\partial v_x} \frac{\partial E_z}{\partial x} = 0 \dots\dots\dots(10)$$

모든 粒子가  $x=0, x=L$ 에서 反射한다고 하면  $F^-$ 는  $x=0, x=L$ 에서 0이 된다. 이 條件은 Fourier sine 級數에서도 滿足되므로

$$F^- = \sum_{l=1}^{\infty} F_l e(v) \sin \frac{l\pi x}{L} \dots\dots\dots(11)$$

$$Fl = \frac{2}{L} \int_0^L F^- \sin \frac{l\pi x}{L} dx \dots\dots\dots(12)$$

로 된다. (10)(11)式의 關係로 미루어 보아  $E_x$ 에 對해서는 Fourier sine 級數로,  $E_z$ 에 對해서는 cosin 級數로 되어 있음을 알수 있다.

$E_x, E_z, H_g$ 에 對한 Fourier 級數의 成分을  $E_{1x}, E_{1z}, H_{1y}$ 라 하면

電流의 x成分은

$$j_x = -e \int_{-\infty}^{\infty} dv_x dv_y \int_0^{\infty} v_x F^- dv_x$$

로 定義되므로  $j_x$ 의 Fourier 成分은

$$j_{ix} = \frac{i\omega_p^2 \omega \epsilon_0 L}{V_T^2 e \pi} \left[ J_{1x} E_{ix} - \left( \frac{\mu_0}{\epsilon_0} \right)^{\frac{1}{2}} \frac{J_{21}}{C} H_{iy} \right] \dots\dots\dots(14)$$

로 된다. 여기서  $J_{11}$ ,  $J_{21}$ 은

$$J_{11} = \left( 1 + i \frac{\nu}{\omega} \right) \frac{2\rho\pi}{L} \int_{-\infty}^{\infty} dv_y \, dv_x \cdot \int_0^{\infty} \frac{v_x^2 F_0 \, dv_x}{(\omega - k_0 v_x \sin \theta + i\nu)^2 (l\pi v_x / L)^2} \dots\dots\dots(15)$$

$$J_{21} = \frac{2i\pi}{L} \int_{-\infty}^{\infty} dv_y \, dv_x \cdot \int_0^{\infty} \frac{V_x^2 V_x F_0 \, dv_x}{(\omega - k_0 v_x \sin \theta + i\nu)^2 - (l\pi v_x / L)^2} \dots\dots\dots(16)$$

非攝動分布函數를 Maxwellian 으로 假定하므로써

$$\int_{-\infty}^{\infty} dv_y \, F_0(v_x, v_y, v_z) = F_0(v_x, v_z)$$

로 된다. 또한 被積分函數가 偶函數일 때 積分限界는 全實數軸으로 擴張할 수 있으므로 (15)(16)式은 다음과 같이 쓸수 있다.

$$J_{11} = \left( 1 + i \frac{\nu}{\omega} \right) \iint_{-\infty}^{\infty} \frac{dv_x \, dv_z \, F_0 \, v_x}{\omega - k_0 v_x \sin \theta - l\pi v_x / L + i\nu} \dots\dots\dots(17)$$

$$J_{21} = \iint_{-\infty}^{\infty} \frac{dv_x \, dv_z \, v_x \, v_z \, F_0}{\omega - k_0 v_x \sin \theta - l\pi v_x / L + i\nu} \dots\dots\dots(18)$$

$z$  成分도 같은 方法으로 다음과 같이 된다.

$$j_{iz} = \frac{\omega_p^2 \omega \epsilon_0 L}{v_T^2 l \pi} J_{31} E_{iz} - \left( \frac{\mu_0}{\epsilon_0} \right)^{\frac{1}{2}} \frac{J_{41}}{C} H_{ly} \dots\dots\dots(19)$$

여기서

$$J_{31} = \left( 1 + i \frac{\nu}{\omega} \right) \int_{-\infty}^{\infty} \frac{dv_x \, dv_z \, F_0 \, v_z}{\omega - k_0 v_x \sin \theta - (l\pi v_x / L) + i\nu} \dots\dots\dots(20)$$

$$J_{41} = \int_{-\infty}^{\infty} \frac{dv_x \, dv_z \, F_0 \, v_z^2}{\omega - k_0 v_x \sin \theta - (l\pi v_x / L) + i\nu} \dots\dots\dots(21)$$

(17)(18)(20)(21)은 프라즈마 分布函數  $Z(\rho)$ 로 表示할 수 있다. [9]

$$Z(\rho) = \frac{1}{\sqrt{\pi}} \int_{-\infty}^{\infty} \frac{dx \exp(-x^2)}{x - \rho} \dots\dots\dots(22)$$

여기서

$$\rho = \frac{k \cdot L}{l\pi} \frac{1 + i(\nu/\omega)}{\sqrt{2}(V_T/C) (1 + R_0^2 L^2 \sin^2 \theta / l^2 \pi^2)^{\frac{1}{2}}} \dots\dots\dots(23)$$

로 되고

$$J_{11} = - \left( 1 + i \frac{\nu}{\omega} \right) \frac{2l\pi}{k_0 L} \left( \frac{V_T}{C} \right)^2 \frac{1}{k_0} \rho^2 [1 + \rho Z(\rho)] \dots\dots\dots(24)$$

$$J_{21} = 2 \left( \frac{v_T}{C} \right)^4 \sin \theta \left( \frac{l\pi}{k_0 L} \right) \frac{C}{k_0} \rho^3 [Z(\rho) - 2\rho^2 Z(\rho) - 2\rho] \dots\dots\dots(25)$$

$$J_{31} = -2 \left( 1 + i \frac{\nu}{\omega} \right) \sin \theta \left( \frac{v_T}{C} \right)^2 \frac{1}{k_0} \rho^2 [1 + \rho Z(\rho)] \dots\dots\dots(26)$$

$$J_{41} = \frac{C}{\sin \theta} \left[ J_{31} - \frac{l\pi}{k_0 L} \frac{1}{C} J_{21} \right] \dots\dots\dots(27)$$

$\nu \rightarrow 0$  될 때 (22)의 積分値가 存在하게 되어 Landau damping 이 일어난다.

(6)(7)式을 Fourier 分析하여

$$\frac{l\pi}{L} E_{ix} = -ik_0 \sin \theta E_{ix} - i\omega \mu_0 H_{ly} \dots\dots\dots(28)$$

$$Elx = \frac{k_o \sin\theta}{\omega \epsilon_o} Hly + \frac{1}{i \omega \epsilon_o} j_{ix} \dots\dots\dots(29)$$

$$Hly [k_o^2 - k_o'^2 \sin^2\theta - \left(\frac{l\pi}{L}\right)^2] + \frac{l\pi}{L} \left( \frac{Hy(O) - (-1)^l Hy(L)}{L/2} \right) \\ = -ik_o \sin\theta j_{ix} - \frac{l\pi}{L} j_{ix} \dots\dots\dots(30)$$

을 얻는다. (12)(19)를 (30)에 代入하여

$$Hly = \frac{-\frac{l\pi}{L} \frac{Hy(o) - (-1)^l Hy(L)}{L/2}}{k_o^2 - k_o'^2 \sin^2\theta - \left(\frac{l\pi}{L}\right)^2 - k_o'^2 \frac{\omega_p^2}{\omega^2} - \frac{\omega}{v_T^2} \left( J_{4l} - \frac{k_o L}{l\pi} \sin\theta J_{2l} \right)} \dots\dots\dots(31)$$

$$Elx = \frac{\frac{l\pi}{\omega \epsilon_o L} \left( \frac{Hy(o) - (-1)^l Hy(L)}{L/2} \right) \left( k_o \sin\theta - \frac{\omega_p^2}{V_T^2} - \frac{k_o L}{l\pi} \frac{J_{2l}}{C} \right)}{\left( 1 - \frac{\omega_p^2}{v_T^2} - \frac{L}{l\pi} J_{1l} \right) \left( k_o^2 - k_o'^2 \sin^2\theta - \left(\frac{l\pi}{L}\right)^2 - k_o'^2 \frac{\omega_p^2}{\omega^2} - \frac{\omega}{v_T^2} \left( J_{4l} - \frac{k_o L}{l\pi} \sin\theta J_{2l} \right) \right)} \dots\dots\dots(32)$$

$$Elz = \frac{i \omega \mu_o \left( \frac{Hy(o) - (-1)^l Hy(L)}{L/2} \right) \left( 1 - \sin^2\theta - \frac{\omega_p^2}{\omega^2} - \frac{\omega}{v_T^2} J_{5l} \right)}{\left( 1 - \frac{\omega_p^2}{v_T^2} - \frac{L}{l\pi} J_{1l} \right) \left( k_o^2 - k_o'^2 \sin^2\theta - \left(\frac{l\pi}{L}\right)^2 - k_o'^2 \frac{\omega_p^2}{\omega^2} - \frac{\omega}{V_p^2} \left( J_{4l} - \frac{k_o L}{l\pi} \sin\theta J_{2l} \right) \right)} \dots\dots\dots(33)$$

여기서  $Hy(0), Hy(L)$ 은  $x=0, x=L$ 에서의 磁界이다.  $G_1, G_2$ 를

$$G_1 = \sum_{l=0}^{\infty} \frac{2}{(1+\delta_o^l)} \left( \frac{1}{k_o L} \right)^2 [1 - \sin^2\theta - \frac{\omega_p^2}{\omega^2} - \frac{\omega}{v_T^2} J_{3l}] \dots\dots\dots(34)$$

$$G_2 = \sum_{l=0}^{\infty} \frac{2}{1+\delta_o^l} \left( \frac{1}{k_o L} \right)^2 [1 - \sin^2\theta - \frac{\omega_p^2}{\omega^2} - \frac{\omega}{v_T^2} J_{5l}] (-1)^l \dots\dots\dots(35)$$

로 定義하고 ( $\delta_o^l$ 은 Kronecaer delta),  $J_{5l} = (J_{1l} - (J_{2l}/c \sin\theta)) (\omega l / l\pi)$

라 하면  $x=0, x=L$ 에서  $Ez$ 는

$$Ex(0) = \sum_{l=0}^{\infty} E_{lx} = -i \omega \mu_o [Hy(0) G_1 L - Hy(L) G_2 L] \dots\dots\dots(36)$$

$$Ez(L) \sum_{l=0}^{\infty} (-1)^l Elz = -i \omega \mu_o [Hy(0) G_2 L - Hy(L) G_1 L] \dots\dots\dots(37)$$

프라즈마 境界面에서  $E$ 와  $H$ 의 接線成分은 連續이므로  $x=0$ 點의 임피던스는

$$Z = i \frac{k_o L}{\cos\theta} G_1 - \frac{G_2^2}{\epsilon_1 - i \cos\theta / k_o L} \dots\dots\dots(38)$$

로 된다. 反射係數  $R$ , 透過係數  $T$ , 吸收係數  $A$ 는 各各.

$$R = \frac{1-Z}{1+Z} \dots\dots\dots(39) \quad T = \frac{(1+R)G_2 \exp(-ik_o L \cos\theta)}{G_1 - i \cos\theta / k_o L} \dots\dots\dots(40)$$

$$A = 1 - |R|^2 - |T|^2 \dots\dots\dots(41)$$

로 된다.  $v_T \rightarrow 0, \nu \rightarrow 0$ 에서 (24)(25)(26)(27)은 다음과 같은 近似式으로 쓸수 있다 [10]

$$J_{1l} \cong \frac{v_T^2}{\omega^2} - \frac{l\pi}{L} \left[ 1 + 3 \frac{v_T^2}{\pi^2} - \left( \frac{l^2 \pi^2}{L^2} + k_o^2 \sin^2\theta \right) \right] \dots\dots\dots(42)$$

$$J_{2l} \cong 2k_o \sin\theta \frac{l\pi}{L} - \frac{v_T^4}{\omega^3} \dots\dots\dots(43) \quad J_{3l} \cong 2k_o \sin^2\theta \frac{v_T^4}{\omega^3} \dots\dots\dots(44)$$

$$J_{4l} \cong \frac{v_T^2}{\pi} \left[ 1 - \frac{v_T^2}{\omega^2} \left( \frac{l^2 \pi^2}{L^2} + 3k_0^2 \sin^2 \theta \right) \right] \dots\dots\dots(45)$$

以上을 (34)(35)에 代入하여

$$G_1 \cong \left( \frac{1}{k_0 L} \right)^2 \sum_{l=0}^{\infty} \frac{2}{1 + \delta_l} \frac{\left( 1 - \sin^2 \theta / \left[ 1 - \frac{\omega_p^2}{\omega^2} - 3 \frac{\omega_p^2}{\omega^2} \frac{v_T^2}{C^2} \left( \frac{l\pi}{k_0 L} \right)^2 \right] \right)}{1 - \frac{\omega_p^2}{\omega^2} - \sin^2 \theta - \left( \frac{l\pi}{k_0 L} \right)^2} \dots\dots\dots(46)$$

$$G_2 \cong \left( \frac{1}{k_0 L} \right)^2 \sum_{l=0}^{\infty} \frac{2(-1)^l}{1 + \delta_l} \frac{1 - \sin^2 \theta / \left[ 1 - \frac{\omega_p^2}{\omega^2} - 3 \frac{\omega_p^2}{\omega^2} \frac{v_T^2}{C^2} \left( \frac{l\pi}{k_0 L} \right)^2 \right]}{1 - \frac{\omega_p^2}{\omega^2} - \sin^2 \theta - \left( \frac{l\pi}{k_0 L} \right)^2} \dots\dots\dots(47)$$

(46)(47)에서

$$l\pi = k_0 L \left[ \cos^2 \theta - \frac{\omega_p^2}{\omega^2} \right]^{1/2}, \quad l=0, 1, 2, \dots\dots(48)$$

일때 分母가 0 된다.

(48)의 結果는 冷프라즈마에서도 일어날 수 있는 Fabry-Perot 共振을 意味하며, (46), (47)의 分母는 다음 條件에서도 0 이 된다.

$$l\pi = \frac{k_0 L}{\sqrt{3}(v_T/c)} \frac{(1 - \omega_p^2/\omega^2)^{1/2}}{\omega_p/\omega}, \quad l=0, 1, 2, \dots\dots\dots(49)$$

(49)는 一連의 縱振動을 表示하며,  $v_T \rightarrow 0$  됨에 따라 없어진다. 프라즈마스랩이 充分히 얇고 熱速度가 너무 낮지 않으면 位相速度  $(k_0 L/l\pi)c$  는 매우 적을 수 있다.

### 3. 結 論

以上에서 프라즈마 스텝에 角  $\theta$  로 入射된 電磁波에 對해서 純全히 Maxwell 方程式과 Vlasov 方程式만으로써 入射波의 反射, 透過, 吸收係數를 求했다. 이 方法은 電磁波를 平面波의 스펙트럼으로 表示할 수 있다는 觀點에서 스텝內의 開口 안테나에도 適用할 수 있다.

이 方法의 長點은 다른 方法에서 困難한 數值 計算이 可能한 것이다. Kondratenko 와 Miroshnichenko [10]는 Vlasov 方程式을 Fourier 級數形으로 變換하기 爲해서 積分因子를 利用했지만 여기서는 直接 Fourier 級數로 된 解를 얻었다.

### 參 考 文 獻

1. L. Tonkc, "Plasma electron resonance, plasma

resonance and plasma shape." Phys. Rev., Vol. 38. pp 1219-1233, 1931.

2. D. Rommel, "Radio reflections from a column of ionized gas," Nature, vol. 167, pp 243, 1951.  
 3. A. Datter, "The plasma resonator." Ericcon Tech, vol. 2, pp 309-350, 1957.  
 4. J. V. Parker, T. C. Nickel, and R. W. Gould, "Resonance oscillations in a hot nonuniform plasma." Phys. Fluids. vol. 7, pp 1489-1500, 1954.  
 5. D. R. Vandenplas, "Electron waves and resonances in bounded plasma." New York Interscience, 1968.  
 6. D. E. Baldwin, "Kinetic model of Tonks-Dattner resonances in plasma column. "Phys, Fluids, vol. 12. pp 279-290, 1969.  
 7. D. W. Ignat, "Resonant behavior of a bounded plasma." ph. D Dissertation, Yale Univ, New Haven, Conn.  
 8. L. Landau, "On the vibrations of the electronic plasma," Izv. Akad. Nauk SSSR Ser Fig, vol 10, pp. 25-34. 1946.  
 9. C. T. Swift, "A theoretical investigation of electromagnetic waves obliquely incident upon a plasma slab," ph. D dissertation, College of William and Mary. Will: amsbury, va., 1969.  
 10. A. N Kondratenko and V. I. Miroshnichenko, "Kinetic theory of the propagation of electromagnetic waves through a plasma layer". Sor. Phys. Tech, Phys., vol. 11, pp 16-21, 1966).

(延世大 電子科 李相高 抄)